

# 纳米晶 W-Cu复合粉末烧结行为<sup>①</sup>

曹顺华, 林信平, 李炯义

(中南大学 粉末冶金国家重点实验室, 长沙 410083)

**摘要:** 研究了机械合金化制备的纳米晶 W-xCu( $x=15, 20, 25$ )复合粉末的烧结行为。结果表明, 纳米晶 W-Cu复合粉末烧结致密化强烈地依赖于烧结温度与烧结时间。当烧结温度从 1150 °C提高到 1200 °C时, 烧结 30 min 后的烧结体相对密度由 91% ~ 94% 增加到 97% ~ 98%; 当烧结温度超过 1300 °C时, 烧结体发生快速致密化, 5 min 内相对密度即可达到 98% 左右。研究还发现, W-Cu合金中 W 晶粒尺寸也强烈地依赖于烧结温度, 即烧结温度愈高, W 晶粒长大愈显著。当压坯在 1200~1250 °C烧结 30 min 后, 所得到的晶粒度约为 300~500 nm, 其中经 1200 °C烧结时的晶粒尺寸约为 300~350 nm。另外, Cu含量增加有利于烧结致密化, 并降低 W 晶粒长大的趋势。

**关键词:** 纳米 W-Cu, 烧结致密化; 烧结

中图分类号: TF 123.7

文献标识码: A

## Sintering behavior of nanograined W-Cu composite powder

CAO Shun-hua LIN Xin-ping LI Jiong-yi

(State Key Laboratory for Powder Metallurgy, Central South University, Changsha 410083, China)

**Abstract** Sintering behavior of nanograined W-xCu( $x=15, 20, 25$ ) composite powder produced by mechanical alloying was studied. The results show that sintering densification of nanograined powder is largely dependent on sintering temperature and time. Relative density rises from 91%~94% to 97%~98% when sintering temperature increases from 1150 °C to 1200 °C. When the sintering temperature is higher than 1300 °C, faster densification can be performed within shorter time, e.g. relative density can reach about 98% within 5 min. Likewise, W grain size is also greatly dependent on sintering temperature, so that W grain gradually coarsens with the increasing sintering temperature. The grain size of 300~500 nm can be achieved after sintering at 1200~1250 °C for 30 min and the grain size is only about 300~350 nm at 1200 °C. In addition, the increasing Cu content is beneficial to further sintering densification and less grain growth.

**Key words** nanograined W-Cu, sintering densification, sinter

钨铜复合材料具有良好的耐电弧侵蚀性、抗熔焊性和高强度、高硬度等优点, 目前被广泛地用作电触头材料, 电阻焊、电火花加工和等离子电极材料, 军用发汗材料, 电子封装与热沉材料等<sup>[1-3]</sup>。W、Cu之间互不相溶而且润湿性较差, 因此, 在常规熔渗、液相烧结条件下其致密化过程进行比较困难, 难以达到高致密化和得到理想的组织结构<sup>[4-5]</sup>。纳米晶 W-Cu粉末储存了极高的比表面能

和晶格畸变能, 使后续烧结过程得以活化。其结果, 一方面致密化迅速进行<sup>[6]</sup>, 在 1200 °C的较低烧结温度下(比传统工艺低 100~150 °C), 可得到致密度为 98% 以上的 W-Cu合金; 同时, 也为烧结过程中的 W 颗粒长大提供了巨大的驱动力<sup>[7]</sup>。目前用于制备纳米晶 W-Cu粉末的主要技术有: 机械合金化<sup>[8-9]</sup>, 溶胶-凝胶<sup>[10]</sup>, 热化学工艺<sup>[11-12]</sup>, 热机械法<sup>[13-14]</sup>等。其中, 机械合金化尽管存在粉末脏

① 收稿日期: 2004-07-15 修订日期: 2004-09-30

作者简介: 曹顺华(1965-), 男, 教授, 硕士。

通讯作者: 曹顺华, 教授; 电话: 0731-8830724; 传真: 0731-8830724; E-mail: Shuacsd@163.com

化问题，但由于其工艺简单、易于操作，适合批量生产，因而在纳米 W-Cu 材料制备中备受关注。研究表明：纳米晶 W-Cu 粉末在 1 000~1 083 ℃间烧结，其致密度可由 40% 增加到 95%，当温度高于 1 200 ℃时可获得高于 98% 的相对密度<sup>[15]</sup>；同时烧结过程中 W 晶粒也迅速长大，在 1 200 ℃烧结时，W 晶粒尺寸最小仅为 1 μm 左右<sup>[15~16]</sup>，其晶粒尺寸仍有望进一步降低。

本文作者利用机械合金化制备了纳米晶 W-Cu 复合粉末，研究了纳米晶粉末的烧结致密化行为和显微组织演化，为细晶粒的 W-Cu 合金的制备工艺的确定提供实验基础。

## 1 实验

本实验采用的原料粉末有 4.3 μm 的 W 粉和粒径小于 57 μm 的电解 Cu 粉。按 W-15Cu、W-20Cu 和 W-25Cu(质量分数, %, 下同) 3 种成分进行配料。将混合粉末在混料器中混合 2 h，接着在以硬质合金球作研磨体的高能搅拌球磨机(球磨罐、搅拌杆等组件均为硬质合金材质)中球磨数十小时。激光粒度分析仪测试表明，机械合金化后复合粉末颗粒大小约为 0.5 μm。图 1 所示为机械合金化 W-Cu 复合粉末的 X 射线衍射谱。利用小角度 X 射线衍射技术确定机械合金化 W-Cu 粉末中 W 的晶粒尺寸，即 Cauchy-Gauss 近似函数法，用 Scherrer 公式计算出 W 晶粒尺寸约为 10 nm，Cu 晶粒尺寸约为 20 nm。

为了便于成形，在复合粉末中添加 1.5% PEG 作成形剂。W-Cu 复合粉末在内径为 10 mm 的模具内压制，压坯质量为 (8 ± 0.2) g。压坯在 Mo 丝炉中烧结，采用 H<sub>2</sub> 保护。烧结温度为 1 150、1 200、1 250、1 300、1 325、1 350 和 1 375 ℃；在各个温度

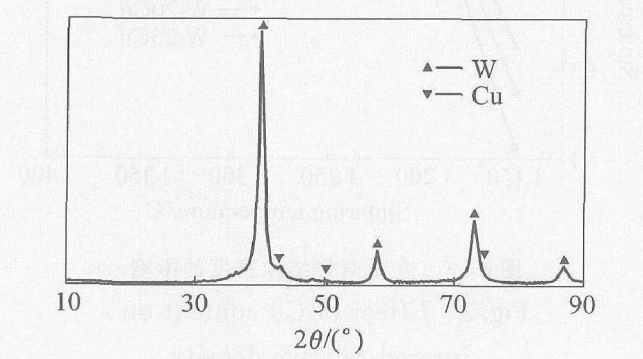


图 1 机械合金化 W-Cu 粉末的 XRD 谱

Fig 1 XRD pattern of W-Cu powder produced by mechanical alloying

点下的烧结时间为 5、10、15、20 和 30 min。烧结密度在精度为 10<sup>-4</sup> g 的 AEL-200 电子分析天平上用排水法测定。为了防止孔隙对测量结果的影响，采用石蜡封孔。烧结密度是对 3 个样品测量后取平均值得到的。

在布氏硬度测试机进行硬度检测，最终硬度由 3 个硬度值取平均得到。

烧结样品经抛光后，用质量比为 1:1 的 10% 铁氰化钾和 10% 氢氧化钠的混合溶液腐蚀 2 min。在 Leica-Quant 显微镜上观察显微组织和观测钨晶粒尺寸。

## 2 结果与讨论

### 2.1 烧结致密化行为

#### 2.1.1 烧结温度、时间对烧结致密化的影响

图 2 所示为 W-Cu 复合粉末烧结密度随烧结温度、时间的变化关系。比较图 2(a)、(b) 和 (c) 可以看出，3 种粉末烧结致密化曲线呈现相似的变化规律。随着烧结温度的升高、烧结时间的延长，材料密度不断增加。当烧结温度为 1 150~1 250 ℃时，随着烧结时间从 5 min 延长到 30 min，致密度提高明显，对于 1 200 ℃ 和 1 250 ℃ 时的曲线，3 种粉末烧结体相对密度均达到了 97%~98%；而当在 1 150 ℃ 烧结 30 min 时，材料没有达到理想的密度。可见，1 200~1 250 ℃ 和 30 min 是机械合金化纳米晶 W-Cu 复合粉末烧结的较理想的烧结选择工艺，这有利于达到烧结致密度和晶粒长大控制的有效统一。当烧结温度提高到 1 300~1 375 ℃ 时，比较 1 150、1 200 和 1 250 ℃ 时的曲线，致密度随烧结时间的变化趋于平缓，随着时间的增加，相对密度提高不明显。在 1 300~1 375 ℃ 的温度范围内烧结 30 min 时，3 种复合材料烧结体的相对密度均达到理论密度的 98%~99%。这些结果表明，烧结温度对纳米晶 W-Cu 复合粉末的烧结致密化具有强烈的影响。温度对 W-Cu 复合粉末烧结致密化行为的影响可以从两个方面来理解。首先，温度的升高改善铜液对固相 W 的润湿性，有利于铜液充分铺展在 W 晶粒表面上，从而有效地以液固界面取代固气界面，消除 W 晶粒间的直接接触机会，降低颗粒重排过程的阻力，使颗粒重排得以充分进行，提高致密化速度。据文献[17]报道，随着温度逐渐提高到 1 350 ℃ 左右，润湿角可减小到 0°。同时，温度升高可以降低铜液的粘度，有利于提高铜液在毛细管力作用下的流动速度，加快致密化速度。

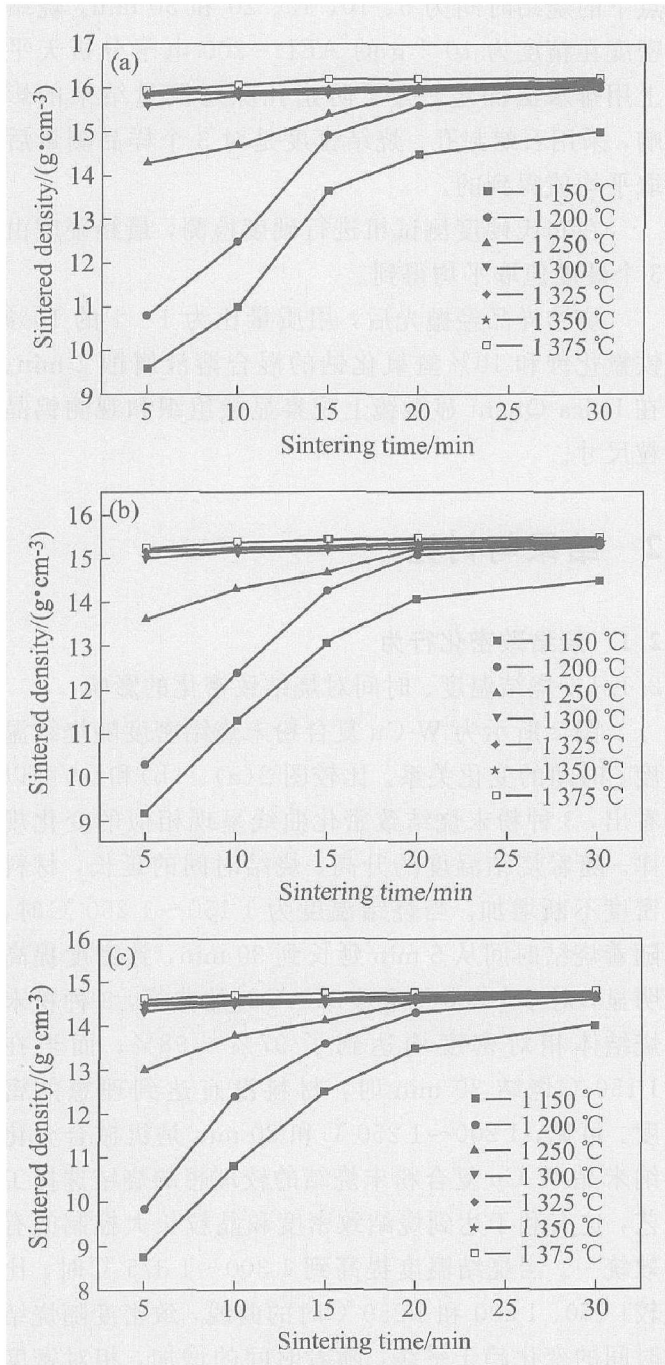


图 2 W-Cu 合金的烧结密度与烧结工艺之间的关系

**Fig 2** Relationships between sintered density and sintering process of different W-Cu alloys

(a) —W-15Cu (b) —W-20Cu (c) —W-25Cu

从图 2 中还可以发现, 当烧结温度达到 1 300 °C 以后, 烧结体经过 5 min 就实现了快速致密化。关于这一现象可根据液相烧结的驱动力即毛细管压力来解释。毛细管压力为<sup>[18]</sup>

$$\Delta p = \frac{\gamma_{LV} \cos \theta}{d}$$

式中  $\gamma_{LV}$  为液-气界面能;  $\theta$  为接触角;  $d$  为固相晶粒间液膜厚度。当铜含量固定时, 经机械合金化处

理的 W-Cu 复合粉末中的 W 晶粒愈细小,  $d$  值就愈小。 $d$  值的降低意味着铜液在固相 W 晶粒间形成的月牙弯曲面的半径减小, 作用在 W 晶粒上的毛细管力增大。由于复合粉末中 Cu 晶粒尺寸为 20 nm 左右, 在制备传统 W-Cu 合金中, 经成形后并考虑到液相的迅速铺展, 假定 W 颗粒间的液膜厚度为 1  $\mu\text{m}$  则前者在液相烧结过程中的毛细管力为后者的 50 倍。因而, 实验中纳米晶 W-Cu 复合粉末经 5 min 就可以实现足够的烧结致密化。

### 2.1.2 Cu 含量对烧结致密化的影响

图 3 所示为 3 种不同 Cu 含量的粉末压坯经烧结 30 min 后得到的相对密度随烧结温度的变化曲线。从图中可以看出, 在相同的烧结温度下, W-25Cu 的相对密度最高, W-20Cu 次之, W-15Cu 最低。这一现象说明 Cu 含量增加有利于提高粉末的烧结致密化速度。这是由于 Cu 含量越高, 在烧结过程中形成的液相越多, 减小固相 W 晶粒之间的接触程度, 从而降低颗粒重排阻力, 便于获得较高的相对密度。从图中还可发现, 在 1 150 °C 烧结 30 min 后, 材料没有达到理想的相对密度, 仅为 91% ~ 94%; 在 1 200 ~ 1 250 °C 烧结 30 min 后, 材料相对密度达到了 97% ~ 98%, 因此, 在该温度区间内烧结有利于达到高致密度和细晶粒度的有效结合; 烧结温度增加到 1 300 ~ 1 375 °C 时, 相对密度虽可以提高到 98% ~ 99%, 但该温度区存在 W 晶粒长大现象。

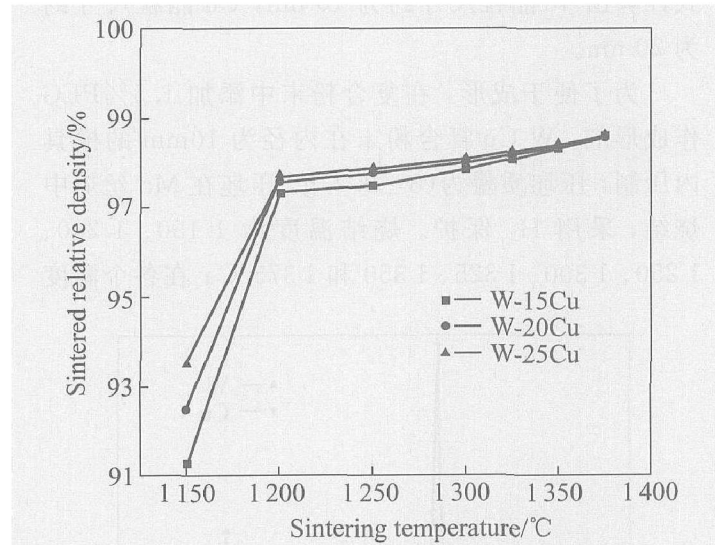


图 3 Cu 含量对烧结致密度的影响

**Fig 3** Effect of Cu content on sintered relative density

### 2.2 烧结显微组织演变

图 4 所示为 3 种粉末在不同烧结温度烧结 30

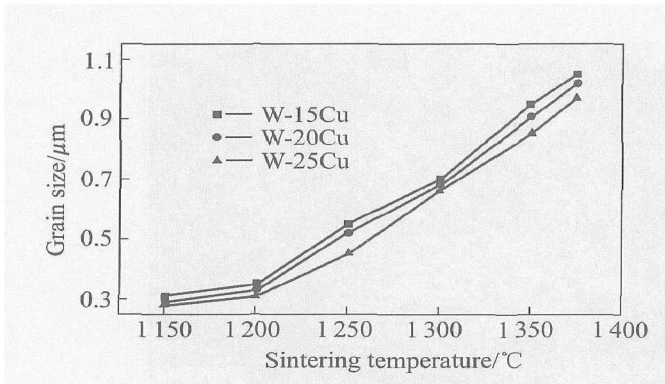


图 4 晶粒度与烧结温度的关系

**Fig 4** Relationships between W grain size and sintering temperature

m in后所得到的晶粒尺寸随烧结时间变化的关系曲线。图 5~7 所示分别为不同 Cu 含量纳米晶 W-Cu

粉末在不同温度烧结 30 m in 所得到的显微组织。

从图 5~7 中可以看到，随着烧结温度的升高，W 晶粒逐渐长大。从图 4 可知，1150 °C 烧结 30 m in 后 W-Cu 复合材料的晶粒大小约为 300 nm 左右；当烧结温度为 1200~1250 °C 时，晶粒长大到 300~500 nm，而在 1200 °C 时晶粒度为 300~350 nm 左右，这明显低于国内外的研究水平（纳米晶 W-Cu 复合粉末在 1200 °C 烧结时，W 晶粒尺寸最小仅为 1 μm 左右<sup>[15~16]</sup>）；当烧结温度升高到 1300~1375 °C 时，晶粒尺寸约为 700~1000 nm。可见，在研究的范围内，随着温度的升高，W 晶粒没有出现剧烈的尺寸长大现象。在烧结过程中的 W 晶粒长大主要表现为聚晶长大。由于 Cu 对 W 的润湿性不甚理想，这为烧结过程中的 W 颗粒聚集提供了条件。由于纳米晶 W 的高活性，相互接触的纳米

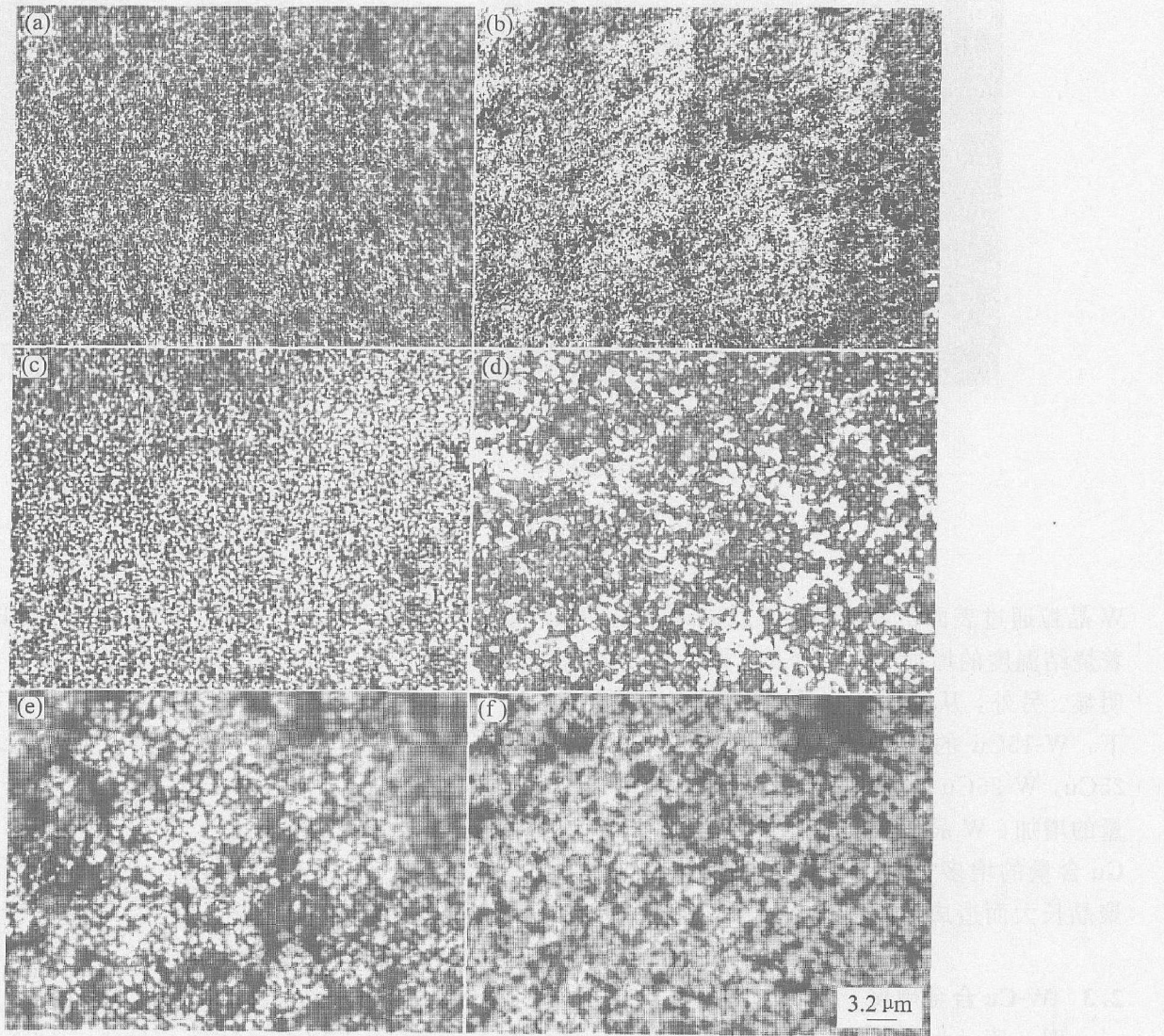


图 5 纳米晶 W-20Cu 粉末经过不同温度烧结后的显微组织

**Fig 5** Microstructures of nanograined W-20Cu powder sintered at different temperatures

(a) -1150 °C; (b) -1200 °C; (c) -1250 °C; (d) -1300 °C; (e) -1350 °C; (f) -1375 °C

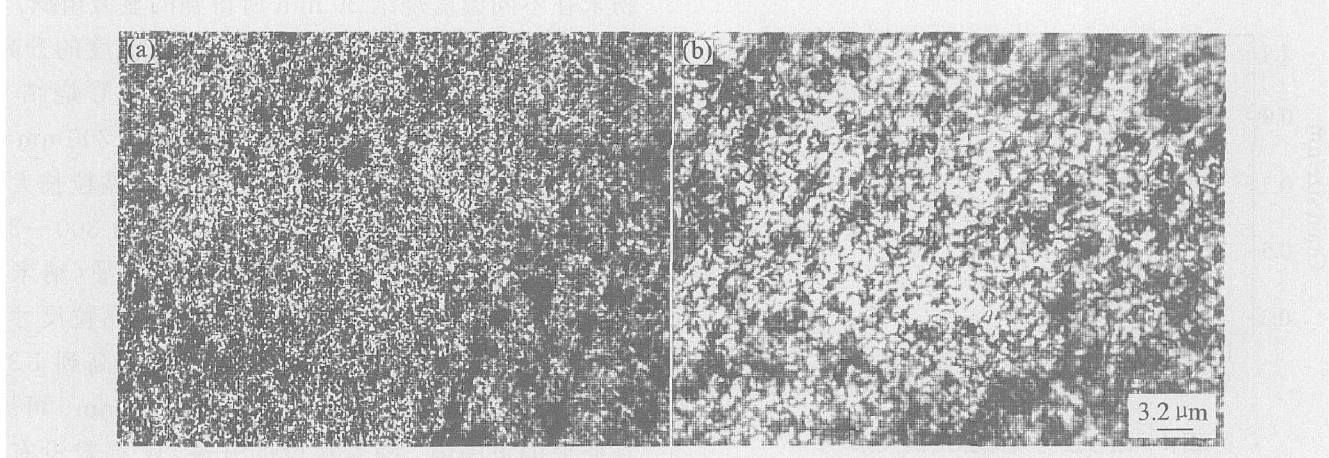


图 6 纳米晶 W-15Cu粉末经 1200和 1250 °C烧结后的显微组织

**Fig 6** Microstructures of nanograin W-15Cu powder sintered  
at 1200 °C and 1250 °C  
(a) – 1200 °C; (b) – 1250 °C

图 7 纳米晶 W-25Cu粉末经 1200和 1250 °C烧结后的显微组织

**Fig 7** Microstructures of nanograin W-25Cu powder  
sintered at 1200 °C and 1250 °C  
(1) – 1200 °C; (b) – 1250 °C

W 晶粒通过表面扩散逐渐聚集长大并发生球化。随着烧结温度的增加、时间延长，聚晶长大效果越加明显。另外，从图 4还可看出，在相同的烧结温度下，W-15Cu 的晶粒尺寸均高于 W-20Cu 和 W-25Cu，W-25Cu 的烧结晶粒度最小，即随着 Cu 含量的增加，W 晶粒尺寸变小。这主要是因为，随着 Cu 含量的增多，W 颗粒之间接触的几率减小，由聚晶长大而造成的晶粒粗化程度降低。

### 2.3 W-Cu合金硬度

图 8所示为烧结 30min 所得的 W-Cu 材料硬度随烧结温度的变化曲线。随着烧结温度的升高，硬度不断增加，当烧结温度从 1150 °C 升高到 1200 °C 时，硬度随烧结温度的提高变化明显，W-15Cu、W-20Cu 和 W-25Cu 烧结坯硬度分别达到 HB302、

HB264 和 HB237，这是由于材料密度增加引起的；

图 8 硬度与烧结温度的关系

**Fig 8** Relationships between hardness  
and sintering temperature

